

線形豫測을 위한 새로운 反射係數推定 알고리즘

(A New Reflection Coefficient-Estimation Algorithm for Linear Prediction)

趙基元*, 金秀重**

(Ki Won Cho and Soo-Joong Kim)

要 約

래티스公式에 기초를 두어 線形豫測을 위한 새로운 알고리즘을 구하였다. 알고리즘의 출력은 all-pole 모델의 安定度를 保障하는 反射係數이다. 매豫測段階에서豫測誤差의 共分散(covariance)을 循環的으로 계산하는 方程式이 誘導되었고 이 式을 계산하는 과정에서豫測係數에 관계없이 反射係數를推定하도록 하였다. 共分散 래티스(covariance-lattice) 방법과 비교하였을 때 새로운 알고리즘은 계산의量을 약 반으로 줄였으며豫測次수가 높은 경우에 보다効率的이 되다는 것을 설명하였다.

Abstract

A new algorithm, based upon a lattice formulation, is presented for linear prediction. The output of the algorithm is the reflection coefficients that guarantee the stability of the all-pole model. The equations are derived that compute the covariance of the residuals recursively at each prediction stage, and in processing of computing that equations, the reflection coefficients are estimated without computing the predictor coefficients. Comparing with covariance-lattice method, it can be said that the new algorithm reduce the number of computations to about half and is more efficient for fitting of the high-order model.

I. 序論

음성 신호의 線形豫測의 解析을 위해自己相關關係(auto correlation) 방법과自己分散(auto covariance) 방법^[1]이 많이利用되어 왔다. 前者는 maximum likelihood推定理論^[2]과 最小自乘法^[3]에 기초를 두어 각각獨立的으로誘導되었으며 all-pole 필터의 安定度를 이론적으로 保障한다. 그러나 處理될

신호에 窓函数(window function)를 꼽아야 하므로 스펙트럼分解度를減少시키며 실제로 FWL(finite word length) 계산을 하는 경우 반드시 安定度가 保障되는 것은 아니다. 한편後者は 역시最小自乘法에 바탕을 둔 것으로서 음성 신호의 分析과 合成 문제에最初로應用되었으며^[4] 신호가 窓函数를 지나지 않아도 되지만 반면에 浮動點 계산에서 필터의 安定度가 保障될 수 없는 缺點이 있다.

傳統의방법에 있어서의 이러한 문제점들은 래티스公式^[5]에 의해서, all-pole 필터의 安定度가 窓函数를 지나(windwing)지 않고도 保障될 수 있으며 FWL 계산을 하는 경우에도 安定度의 保障을 기대할

*準會員, **正會員, 慶北大學校工科大學電子工程系
(Dept. of Electronics, Kyungpook National Univ.)

接受日字：1982年 1月 15日

수 있게 침으로서 해결되었다. 그러나 레니스 공식에 의한 반대係數의推定은 종래의 방법에 비해 4~5 배나 많은 계산량을 요구한다.共分散 레니스 방법은 레니스 공식을最初로 提示하였을 때의 그려한 문제점을 개선하기 위해 레니스 공식의 장점을 유지하면서自己相關關係 및自己分散 방법에 比較한 만한 効率을 얻게 하였다.^[6] 그러나 高次 모멘트는非効率的이다.

이 論文에서는 제(1)式의 公式에 기초를 두어 all-pole 모델의 安定度를 保障할 수 있는 바라메타를, 보다 効率的으로 推定하기 위한 새로운 알고리즘을 만들었다.

後向豫測誤差와 前向豫測誤差의 cross covariance 와自己分散을 배豫測段階에서 循環의으로 계산하는 方程式이 誘導된다. 그리고 이 式을 계산하는 과정에서豫測係數에 반대없이 反射係數를 推定하도록 하여 레니스 公식에 기초를 두는他の 방법에 비해 계산의 량, 即, 記憶容量을 줄이게 된다. 특히 Burg 및共分散-레니스 방법에 비교하였을 때 새로운 알고리즘이 効率的임을 알 수 있다.

II. 알고리즘의 誘導

線形豫測에서 算出된 系數의 평균 all-pole系數도 평균으로 분별화함에 시스템을 모델화하고 싶어하는 第一次의 前向豫測誤差 $f^{(t)}(m)$ 과 後向豫測誤差 $b^{(t)}(m)$ 은

$$f^{(t)}(m) = b^{(t)}(m) = s(m) \quad (s(m); \text{임의값}) \quad (1)$$

$$f^{(t)}(m) = f^{(t+1)}(m) - K_t f^{(t+1)}(m-1) \quad (2)$$

$$b^{(t)}(m) = b^{(t+1)}(m-1) - K_t f^{(t+1)}(m) \quad (3)$$

와 같은 循環關係式를 갖다. 위의 式으로부터 all-pole系數의 安定度가 保證되는 경우, 1/2的 構數 K_t 를 推定하기 위해 어떤 방법이든 다음의 公식을 提示하는 바 있는데 그 중 數學的으로 잘 정義된 誤差 判定基準을 갖는 Burg 방법에 의한 레니스 公式^[5]

$$K_{t+1} = \frac{2 \sum_{m=p}^N \left| f^{(t+1)}(m) b^{(t)}(m-1) \right|}{\sum_{m=p}^N \left| f^{(t+1)}(m) \right|^2 + \sum_{m=p}^N \left| b^{(t+1)}(m-1) \right|^2} \quad (4)$$

을, 새로운 알고리즘을 誘導하기 위해 利用하기로 한다. 여기서 p 는 最終豫測次数이며 N 는 알려진 대시기(terminal)의 全体数이다. 時間의 上限과 下限은 $N-1$ 과 p 로 한 것은 계산의 簡便을 위하여任意로 定하였다.

以下에서 다음 表記法을 使用하기로 한다. 신호가 주어진 組로 주어진 경우 ensemble 평균은 시간 평균에서 求해질 수 있는 것으로 가정한다. $E(\cdot)$ 는期待値이다.

$$E \left[f^{(t)}(m) f^{(t)}(m-k) + b^{(t)}(m) b^{(t)}(m-k) \right]$$

$$= \sum_{m=p}^{N-1} f^{(t)}(m) f^{(t)}(m-k) + \sum_{m=p}^{N-1} b^{(t)}(m) b^{(t)}(m-k)$$

$$(m-k) = FFBB^{(t)}(k)$$

$$E \left[f^{(t)}(m) b^{(t)}(m-k) \right] = \sum_{m=p}^{N-1} f^{(t)}(m) b^{(t)}(m-k)$$

$$= FB^{(t)}(k)$$

$$E \left[b^{(t)}(m) f^{(t)}(m-k) \right] = \sum_{m=p}^{N-1} b^{(t)}(m) f^{(t)}(m-k)$$

$$= BF^{(t)}(k)$$

계산의 効率을 얻는데 있어서 式(4)의 分子의 계산이 쉽게 처리不易으로 이의 계산에 광침을 두고 式(2)와 k 차연된 式(3)을重複하게 되면 다음과 같이 展開된다.

$$f^{(t+1)}(m) b^{(t+1)}(m-k) = f^{(t+1)}(m) b^{(t+1)}(m-k-1) +$$

$$- K_t \left[f^{(t+1)}(m) f^{(t+1)}(m-k) + b^{(t+1)}(m-1) b^{(t+1)}$$

$$(m-k-1) \right] + K_t^2 b^{(t+1)}(m-1) f^{(t+1)}(m-k) \quad (5)$$

式(5)의 等式를 時間 間隔 p 에 서부터 $N-1$ 까지 合成하면 表記法을 적용하기 어렵다.

$$FB^{(t+1)}(k) = FB^{(t+1)}(k+1)$$

$$K_t \left[FFBB^{(t+1)}(k) + b^{(t+1)}(p-1) b^{(t+1)}$$

$$(p-k-1) - b^{(t+1)}(N-1) b^{(t+1)}(N-k-1) \right]$$

$$+ K_t^2 \left[BF^{(t+1)}(k-1) + b^{(t+1)}(p-1) f^{(t+1)}$$

$$(p-k) - b^{(t+1)}(N-1) f^{(t+1)}(N-k) \right] \quad (6)$$

式(6)에 의해 推定되는 反射係數의分子를 직접 계산할 수 있는 式이 된다. 그

대 (6)식의 계산은 우편의 1項, 2項, 3項의 계산을 요구한다. 1項은 좌변과同一한 誤差 covariance 이므로 (6)식 자체에서 계산될 수 있다. 배 次數에 對應하는 p개의 反射係數를 推定하기 위해 第t次豫測段階에서 (6)식이 계산되어자이 할 k의 條件을 얻기로 하자. 式(6)의 左邊과 우변의 1項에 注意하면 第 t+1次 反射係數를 推定하기 위하여, 分子의 值으로 FB^(t)(1)이 세워되어야 하고, 이의 계산은 FB^(t+1)(2), FB^(t+2)(3), ..., FB^(t)(t+1)의 계산을 隨伴하게 되어 경우 그림 1의 ik座標에 서로 각선 위의 點(i, k)에 對應하는 모든 FB^(t)(k)가 계산되어어야 한다. 이의 意義를 모든 次數에 적용시키면 最終豫測次數가 p일 때 第t次豫測段階에서豫測誤差의 cross covariance FB^(t)(k)가 계산되어야 할 k의 條件은 그림 1로 보니 1 ≤ k ≤ p-1가 되며 그 값이 다음豫測段階까지 保全되어야 함을 알 수 있다.

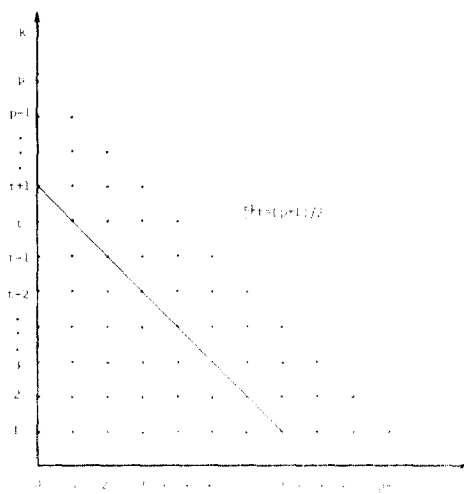


그림 1. ik 좌표

그리고 式(6)에서 2 項과 3 項을 求해야 하므로 像側 誤差의 自己 分散와 合 $FFBB^{(1)}(k)$ 와 cross covariance $BF^{(1)}(k)$ 은

$$\begin{aligned} \text{FFBB}^{(t+1)}(\mathbf{k}) &= -2K_t \text{FB}^{(t+1)}(\mathbf{k} + \mathbf{1}) \\ &+ (1 + K_t^2) \left[\text{FFBB}^{(t+1)}(\mathbf{k}) + b^{(t+1)}(\mathbf{p} - \mathbf{1})b^{(t+1)} \right. \\ &\quad \left. (\mathbf{p} - \mathbf{k} - \mathbf{1}) - b^{(t+1)}(\mathbf{N} - \mathbf{1})b^{(t+1)}(\mathbf{N} - \mathbf{k} - \mathbf{1}) \right] \\ &- 2K_t \left[\text{BF}^{(t+1)}(\mathbf{k} - \mathbf{1}) + b^{(t+1)}(\mathbf{p} - \mathbf{1})f^{(t+1)} \right. \end{aligned}$$

$$(p+k) \geq b^{1/(N-1)}(N-k) \quad (7)$$

1

$$\begin{aligned}
& \text{BF}^{(k+1)}(\mathbf{k}) = \mathbf{K}_k^T \text{FBF}^{(k+1)}(\mathbf{k}) \mathbf{b}^{(k+1)} \\
& = \mathbf{K}_k \left[-\text{FFBB}^{(k+1)}(\mathbf{k}) + \mathbf{b}^{(k+1)}(\mathbf{p}=\mathbf{1}) \mathbf{b}^{(k+1)} \right. \\
& \quad \left. (\mathbf{p}=\mathbf{k}+\mathbf{1}) + \mathbf{b}^{(k+1)}(\mathbf{N}=\mathbf{1}) \mathbf{b}^{(k+1)}(\mathbf{N}=\mathbf{k}+\mathbf{1}) \right] \\
& \quad + \left[\text{BF}^{(k+1)}(\mathbf{k}=\mathbf{1}) + \mathbf{b}^{(k+1)}(\mathbf{p}=\mathbf{1}) \mathbf{f}^{(k+1)}(\mathbf{p}=\mathbf{k}) \right. \\
& \quad \left. - \mathbf{b}^{(k+1)}(\mathbf{N}=\mathbf{1}) \mathbf{f}^{(k+1)}(\mathbf{N}=\mathbf{k}) \right] \quad (8)
\end{aligned}$$

$$KFBR^{\pm}(0) = \pm 4 K_F B^{\pm} \quad (11)$$

$$(\frac{1}{2} \ln \frac{1}{1 - K_1})^{\frac{1}{2}} = \text{FFBB}^{\frac{1}{2}} + (\text{W}^{\frac{1}{2}})^{-1} \text{B}^{-\frac{1}{2}} (\text{pp})^{\frac{1}{2}}$$

3.3.3. Application Examples

$$BF^{\pm}(0) = (1 + K^2)FR^{\pm}(0) / (1 - K^2)$$

$$= \frac{1}{2} \left(b^{p+1} - N + 1 \right)^{-\frac{1}{p}}. \quad (10)$$

식 8-11. 각 武에 대한 像調 誤差의 算出 項式 式 2), (3)
 예시 例으로 제시된다. 作中 列出 武에 대한 不 像調誤差의 cross covariance는 項式 1)과 像調誤差의 cross covariance는 項式 2)로 구해지며, 그 차이가 很小이다.

따라서 K_{i+1} 을 推定하기 위한 式(4)의 分母와 分子는 式(6), (7), (8), (9) 및 (10)으로 부터 다음과 같이 求해진다. 즉 式(9)를 이용해서 分母를 계산하면

$$\sum_{m=p}^{N-1} \left[f^{(i)}(m) \right]^2 + \sum_{m=p}^{N-1} \left[b^{(i)}(m-1) \right]^2 = FFBB^{(i)}(0) + \left[b^{(i)}(p-1) \right]^2 - \left[b^{(i)}(N-1) \right]^2 \quad (11)$$

와 같이 되고 分子는 式(6)에서 $k=1$ 일 때의 값의 두 배로서

$$2 \sum_{m=p}^{N-1} f^{(i)}(m) b^{(i)}(m-1) = 2 FB^{(i)}(1) \quad (12)$$

이 된다.

III. 計算 節次

All-pole 모델의 反射 係數를 推定하기 위한 새로운 알고리즘은 다음과 같이 約定된다. 신호는 $0 \leq m \leq N-1$ 의 범위에서 알려진 N點의 데이터이며 處理의始點은 $m=0$ 이다.

1) $i \leftarrow 0$

2) $f^{(0)}(m) \leftarrow s(m)$, $b^{(0)}(m) \leftarrow s(m) / s(m)$; (입력 신호)

$$3) FB^{(0)}(k) = \sum_{m=p}^{N-1} s(m) s(m-k),$$

$$BF^{(0)}(k) = FB^{(0)}(k), FFBB^{(0)}(k) = 2 FB^{(0)}(k)$$

($0 \leq k \leq p$) 를 계산한다.

4) $i \leftarrow i+1$ 로 하고 式(11), (12) 및 (4)를 이용하여 反射 係數를 계산한다.

5) $i=p$ 이면 마치고 아니면 다음 단계로 간다.

6) 式(9)와 式(10)을 이용하여 $FFBB^{(i)}(0)$ 과 $BF^{(i)}(0)$ 를 계산한다.

7) 式(7)과 (8)을 이용하여 $FFBB^{(i)}(k)$ 와 $BF^{(i)}(k)$ ($1 \leq k \leq p-i-1$)을 계산한다.

8) 式(6)을 이용하여 $FB^{(i)}(k)$ ($1 \leq k \leq p-i$)를 계산한다.

9) 式(2)와 (3)을 이용하여 $b^{(i)}(p-k-1)$, $b^{(i)}(N-k-1)$, $f^{(i)}(p-k)$, $f^{(i)}(N-k)$ ($0 \leq k \leq p-i$)를 각각 계산한다.

10) 4)段階로 간다.

시간 m 이 t 로 이동되어 處理될 때는 p 대신 $p+t$, $N-1$ 대신 $N-1+t$ 가 된다.

새로운 알고리즘은 初期豫測段階($i=0$)의 계산과 이를 제외한 나머지의 계산으로 구성되는데 初期豫測段階에서豫測誤差의 cross covariance 및 自己分散은 處理되는 신호의 自己分散이므로 自己分散을 効率적으로 계산하기 위한 Blankenship 방법^[7]을 이용하면 본 알고리즘의 初期豫測段階의 계산량이 약 반으로 줄어 들게 된다.

IV. 應用 및 評價

새로운 알고리즘의 効用性을 檢討하기 위하여 음성 신호의 解析에 應用하였다. 음성 신호를 샘플링 周波数 10kHz, 8 bit로 A/D 變換하여 磁氣 diskette에 기록한 다음 이를 입력 자료로 하여 새로운 알고리즘을 遵行하기 위한 프로그램에 의해 反射 係數를 推定하였다. $N=256$, 14次豫測次數에서 새로운 알고리즘과 Burg 방법으로 계산된 값을 표 1에 例示하였다. 소수 다섯째 자리까지 반올림 하였을 때 두 값이 같은 것을 알 수 있다. 시뮬레이션에서 사용된 음성 신호는 약 1.5초간 발생된 숫자 음성("1") 期始部의 25.6m sec에 해당하는 샘플링 데이터이며 컴퓨터의 기종은 마이크로 컴퓨터 Cromemco system III 였다. 계산 시간은 最終豫測次數 p , 데이터 點의 數 N 에 따라 달라지나 14次, 256點 데이터로서 계산해 본 바 본 알고리즘이 4.5초 정도, Burg 방법이 23초 가량 소요되었다.

표 1. Burg 방법과 새로운 알고리즘으로 계산된 反射 係數値의 比較

Table 1. Comparison of the reflection coefficients computed by the Burg method and new algorithm.

	PARCO(I)*	BURG(I)
1	9025541E+00	9025541E+00
2	3210414E+00	3210417E+00
3	9276181E-01	9276242E-01
4	-5684762E-01	-5684790E-01
5	-1706824E+00	-1706824E+00
6	-2162260E+00	-2162257E+00
7	-2034894E+00	-2034893E+00
8	-2013681E+00	-2013680E+00
9	-1921120E+00	-1921126E+00
10	-1312707E+00	-1312712E+00
11	-1075305E+00	-1075309E+00
12	-1348298E+00	-1348295E+00
13	-1231402E+00	-1231399E+00
14	-2662825E-01	-2662825E-01

* (PARCO(I); 새로운 알고리즘으로 계산된 결과)

본 방법에 의한 계산량은 $Np/2 + 7p^2$ 이 된다. 첫째
項은 初期豫測段階에서 입력 신호의 自己分散을 얻는
데 소요되는 계산량으로 원式에 의한 량 Np 를 (7)
의 기준 방법을 이용하여 약 반으로 줄이므로서 $Np/2$
가 된다. 그리고 둘째項은 初期豫測段階의 계산을
세외한 나머지의 계산량이 되는데 이것은豫測次數
 $i=1$ 에서 最終次數 p 까지 계산되어야 할 k 의 全 횟
수가 그림 1에서 보는 바와 같이 대략 $p^2/2$ 이 되는
것을 알 수 있고 그러한 계산 조직을 갖는 꿈생의 項
이 式(6), (7) 및 (8)에서 10개項이, 또 後向 및 前向
豫測誤差의 계산 과정에서 4개項으로 모두 14개項
이 있으므로 $14\frac{p^2}{2} = 7p^2$ 이 된다.

표 2 는 새로운 알고리즘의 계산량을 다른 두 방법과
비교하여 나타낸 것이다. $p \leq N/14$ 일 때 (예를 들면 $N = 256$ 일 때 18 次以下의 次數가 된다), 표 2에 의하여
각 방법에 대한 계산량을 구해 보면 새로운 알고리즘
의 계산량이 Burg 방법에 비해서는 $\frac{1}{6} \sim \frac{1}{8}$ 로, 共分散
-래티스방법에 비해서는 약 $\frac{1}{2}$ 로 각각 줄어 든다. 그
리고 共分散-래티스방법에 의한 계산량은 p^3 項을, 새
로운 알고리즘에 의한 그것은 p^2 項을 포함하고 있어서
새로운 알고리즘이 共分散-래티스방법에 비해 高次
모델에 더 効率의의 되며 Burg 방법에 비해서도 $p \leq$
 $N/4$ 을 만족하는 범위의 높은豫測次數에서는 2 배
정도의 効率로서 계산을 違行할 수 있게 된다. 래티스
公式에 의해 推定된 파라미터는 신호가 窄分散을 지나
지 않아도 되므로 보다 적은 샘플링 周波数로 non-
lattice 방법과 同一한 스펙트럼 分解度를 얻을 수 있
다. 따라서 이를 고려하여 계산량을 구해보면 결국 傳
統的의, 最小自乘法에 기초 방법보다도 더 빠리 계산
됨을 알 수 있다. 그리고 표 2에서 요구되는 記憶容
量을 계산하면 새로운 알고리즘은 比較的 적은 記憶容
量으로 신호를 處理할 수 있음을 나타낸다.

표 2. Burg 및 共分散-래티스 방법에 비교하였을
때 새로운 알고리즘의 계산 비용

Table 2. Computational cost for the new algorithm
as compared to the Burg and covariance
-lattice method.

	Burg 방법	共分散- 래티스방법	새로운 알고리즘
Multiplication	$5Np$	$N_p + p^3/2 + 2p^2$	$N_p/2 + 7p^2$
Storage	$3N$	$N + p^2$	$N + 8 - p$
예측 자주가 높을 때	Expensive ($\frac{1}{2}N \leq p \leq N/4$)	Expensive	Efficient

V. 結論

래티스 公式에 기초를 두어 all-pole 필터의 파라
미터를 推定하기 위한 安定하고도 効率의인, 새로운 알고리즘이 誇導되었다.

매豫測段階마다 前向 및 後向豫測誤差의 cross
covariance 그리고 自己分散을 循環의으로 계산하는
과정에서豫測係數에 관계없이 필터의 安定度를 保
障하는 反射係數가 推定되었다.

새로운 알고리즘은 $N/4$ 次以下의豫測次數에서,
래티스 公式에 기초를 두어 他方法에 비해 최소한 2
배의 効率을 갖는다. 음성 기관을 모델화 하였을 때,
새로운 알고리즘과 Burg 방법에 의해 계산된 反射係
數값이 같은 것을 볼으로써 새로운 알고리즘의 効用
성이 確認되었다.

参考文献

- [1] J. Makhoul, "Linear prediction: A tutorial review," *Proc. IEEE*, vol. 63, pp. 561-580, Apr. 1975.
- [2] S. Saito and F. Itakura, "The theoretical consideration of statistically optimum methods for speech spectral density" (in Japanese), *Elec. Commun. Lab.*, N. T. T., Tokyo, Japan, Rep. 3107, Dec. 20, 1966.
- [3] J. D. Markel, "Digital inverse filtering-A new tool for formant trajectory estimation," *IEEE Trans., Audio Electroacoust.*, vol. Au-20, pp. 129-137, June 1972.
- [4] B. S. Atal and S. L. Hanauer, "Speech analysis and synthesis by linear prediction of speech wave," *J. Acoust. Soc. Amer.*, vol. 50, pp. 637-655, Aug. 1971.
- [5] L. R. Rabiner and R. W. Schafer, *Digital Processing of Speech Signal*. Prentice-Hall, Inc., Englewood Cliffs, N. J., pp. 413-416, 1978.
- [6] J. Makhoul, "Stable and efficient lattice methods for linear prediction," *IEEE Trans., Acoust., Speech, Signal Processing*, vol. ASSP-25, pp. 423-428, Oct. 1977.
- [7] W. A. Blankenship, "Note on computing autocorrelation," *IEEE Trans., Acoust., Speech, Signal Processing*, vol. ASSP-22, pp. 76-77, Feb. 1974.